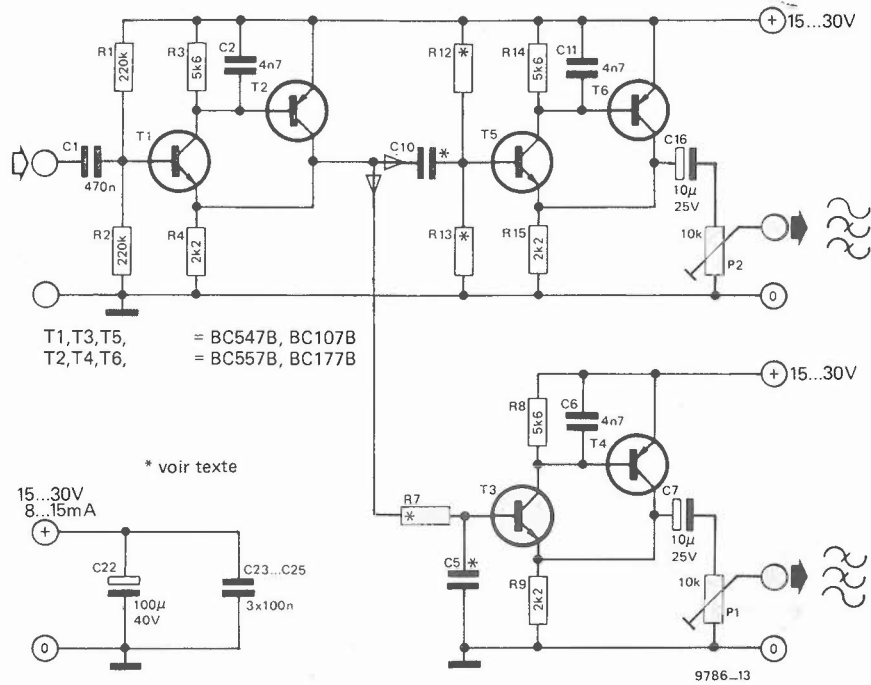
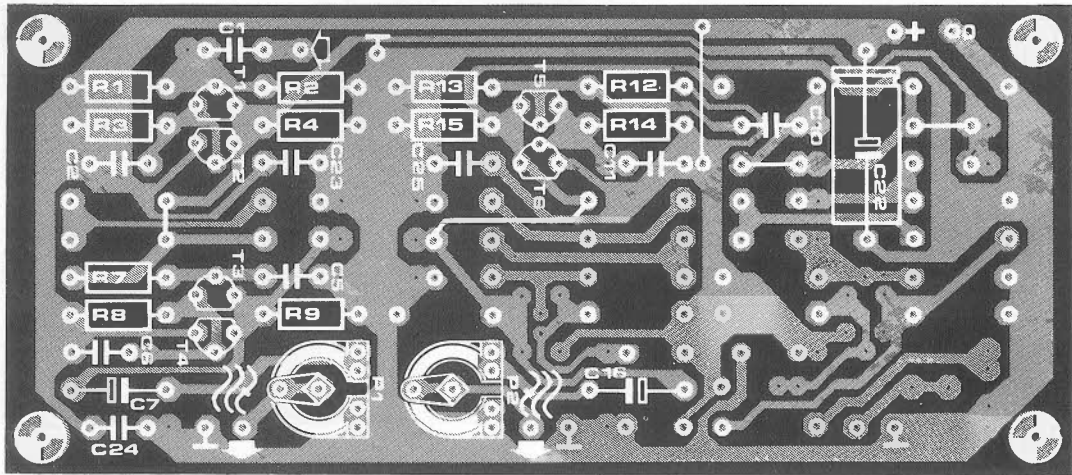


13



14



de R7 et C5 seront trouvées dans le tableau 7; celles de C10; R12 et R13 le seront dans le tableau 8.

Pour $f_1 = 4080$ Hz, le tableau 7 spécifie que $R_7 = 10$ k et $C_5 = 3n9$.

Pour $f_1 = 4080$ Hz, le tableau 8 indique que $R_{12} = R_{13} = 22$ k et $C_{19} = 3n9$.

Dans le cas présent, les 6 notes de bas de pages de la liste des composants doivent toutes être appliquées. Aussi R10, R11, R18 à R26; P3; C3, C4, C12, C14, C15, C17 à C21, C26, C27; T7 à T10 sont supprimés. R5, R6, R16, R17; C8, C9, C13 sont à remplacer par des straps.

Il faut remarquer qu'ayant déjà été éliminé par la note 1, C17 n'est pas à remplacer par un strap lorsqu'on passe à la note 2!

Figure 13. Schéma du circuit deux voies 6 dB/octave.

Figure 14. Implantation des composants modifiée pour le circuit de la figure 13.

Bibliographie:

Electronics, August 18th 1969, p 82 etc (filter circuits)

J.R. Ashley & L.M. Henne: *Operational Amplifier Implementation of Ideal Electronic Crossover Networks*; JAES, January 1971.

S. Linkwitz: *Active Crossover Networks for Noncoincident Drivers*; JAES, February 1976.

J.R. Ashley & A.L. Kaminsky: *Active and Passive Filters as Loudspeaker Crossover Networks*; JAES, June 1971.

R.H. Small: *Constant-Voltage Crossover Network Design*; JAES, January 1971.

B.B. Bauer: *Audibility of phase distortion*; *Wireless World*, March 1974.

H.D. Harwood: *Audibility of phase effects in loudspeakers*; *Wireless World*, January 1976.